

Starkniederschlagshöhen und -spenden gemäß KOSTRA-DWD-2010R

Auswertungszeitraum von 1951 - 2010, Januar - Dezember

Rasterfeld: 29016

Zeile: 29

Spalte: 16

Seite: 1/2

| Dauerstufe D | Wiederkehrzeit T | | | | | | | | | | | | | | | | | | |
|--------------|------------------|------|------------|------|------------|------|------------|------|------------|------|------------|------|------------|------|------------|-------|------------|-------|------------|
| | 1 a | | 2 a | | 3 a | | 5 a | | 10 a | | 20 a | | 30 a | | 50 a | | 100 a | | |
| min | Std | mm | l / (s ha) | mm | l / (s ha) | mm | l / (s ha) | mm | l / (s ha) | mm | l / (s ha) | mm | l / (s ha) | mm | l / (s ha) | mm | l / (s ha) | mm | l / (s ha) |
| 5 | | 5,6 | 186,7 | 8,0 | 266,7 | 9,4 | 313,3 | 11,1 | 370,0 | 13,5 | 450,0 | 15,9 | 530,0 | 17,3 | 576,7 | 19,1 | 636,7 | 21,5 | 716,7 |
| 10 | | 8,5 | 141,7 | 11,5 | 191,7 | 13,2 | 220,0 | 15,4 | 256,7 | 18,3 | 305,0 | 21,2 | 353,3 | 23,0 | 383,3 | 25,1 | 418,3 | 28,1 | 468,3 |
| 15 | | 10,4 | 115,6 | 13,7 | 152,2 | 15,6 | 173,3 | 18,1 | 201,1 | 21,4 | 237,8 | 24,7 | 274,4 | 26,6 | 295,6 | 29,1 | 323,3 | 32,4 | 360,0 |
| 20 | | 11,7 | 97,5 | 15,3 | 127,5 | 17,4 | 145,0 | 20,0 | 166,7 | 23,6 | 196,7 | 27,2 | 226,7 | 29,4 | 245,0 | 32,0 | 266,7 | 35,6 | 296,7 |
| 30 | | 13,3 | 73,9 | 17,3 | 96,1 | 19,7 | 109,4 | 22,7 | 126,1 | 26,8 | 148,9 | 30,9 | 171,7 | 33,2 | 184,4 | 36,2 | 201,1 | 40,3 | 223,9 |
| 45 | | 14,6 | 54,1 | 19,2 | 71,1 | 21,9 | 81,1 | 25,3 | 93,7 | 29,9 | 110,7 | 34,4 | 127,4 | 37,1 | 137,4 | 40,5 | 150,0 | 45,1 | 167,0 |
| 60 | | 15,4 | 42,8 | 20,4 | 56,7 | 23,3 | 64,7 | 27,0 | 75,0 | 32,0 | 88,9 | 37,0 | 102,8 | 39,9 | 110,8 | 43,6 | 121,1 | 48,6 | 135,0 |
| 90 | | 17,0 | 31,5 | 22,3 | 41,3 | 25,5 | 47,2 | 29,4 | 54,4 | 34,8 | 64,4 | 40,1 | 74,3 | 43,3 | 80,2 | 47,2 | 87,4 | 52,6 | 97,4 |
| 120 | 2 | 18,1 | 25,1 | 23,8 | 33,1 | 27,1 | 37,6 | 31,2 | 43,3 | 36,9 | 51,3 | 42,5 | 59,0 | 45,8 | 63,6 | 50,0 | 69,4 | 55,6 | 77,2 |
| 180 | 3 | 20,0 | 18,5 | 26,0 | 24,1 | 29,6 | 27,4 | 34,0 | 31,5 | 40,1 | 37,1 | 46,1 | 42,7 | 49,7 | 46,0 | 54,1 | 50,1 | 60,2 | 55,7 |
| 240 | 4 | 21,4 | 14,9 | 27,8 | 19,3 | 31,5 | 21,9 | 36,2 | 25,1 | 42,5 | 29,5 | 48,9 | 34,0 | 52,6 | 36,5 | 57,3 | 39,8 | 63,7 | 44,2 |
| 360 | 6 | 23,5 | 10,9 | 30,4 | 14,1 | 34,4 | 15,9 | 39,4 | 18,2 | 46,2 | 21,4 | 53,1 | 24,6 | 57,1 | 26,4 | 62,1 | 28,8 | 68,9 | 31,9 |
| 540 | 9 | 25,9 | 8,0 | 33,3 | 10,3 | 37,5 | 11,6 | 42,9 | 13,2 | 50,3 | 15,5 | 57,6 | 17,8 | 61,9 | 19,1 | 67,3 | 20,8 | 74,6 | 23,0 |
| 720 | 12 | 27,7 | 6,4 | 35,5 | 8,2 | 40,0 | 9,3 | 45,6 | 10,6 | 53,4 | 12,4 | 61,1 | 14,1 | 65,6 | 15,2 | 71,3 | 16,5 | 79,0 | 18,3 |
| 1080 | 18 | 30,5 | 4,7 | 38,8 | 6,0 | 43,7 | 6,7 | 49,8 | 7,7 | 58,0 | 9,0 | 66,3 | 10,2 | 71,1 | 11,0 | 77,2 | 11,9 | 85,5 | 13,2 |
| 1440 | 24 | 32,7 | 3,8 | 41,4 | 4,8 | 46,5 | 5,4 | 52,9 | 6,1 | 61,6 | 7,1 | 70,3 | 8,1 | 75,4 | 8,7 | 81,8 | 9,5 | 90,5 | 10,5 |
| 2880 | 48 | 40,3 | 2,3 | 49,6 | 2,9 | 55,0 | 3,2 | 61,9 | 3,6 | 71,2 | 4,1 | 80,5 | 4,7 | 85,9 | 5,0 | 92,8 | 5,4 | 102,1 | 5,9 |
| 4320 | 72 | 45,5 | 1,8 | 55,2 | 2,1 | 60,8 | 2,3 | 67,9 | 2,6 | 77,6 | 3,0 | 87,3 | 3,4 | 92,9 | 3,6 | 100,0 | 3,9 | 109,7 | 4,2 |

Angaben in mm: Bemessungsniederschlagswerte h(n)

Angaben in l / (s ha): Regenspende R(n) mit $R(n) = h(n) \times 1,666667 / D[\text{min}]$

Toleranzbereiche:

+/- 10 % für $1 \text{ a} \leq T \leq 5 \text{ a}$

+/- 15 % für $5 \text{ a} < T \leq 50 \text{ a}$

+/- 20 % für $50 \text{ a} < T \leq 100 \text{ a}$

Datenbasis: KOSTRA-DWD-2010R des Deutschen Wetterdienstes. Die Regenspende wurde auf Basis des Bemessungsniederschlags zur jeweiligen Andauer berechnet.

Für die Richtigkeit und Aktualität der Angaben wird keine Gewähr übernommen. Erstellt 07/2022.

Starkniederschlagshöhen und -spenden gemäß KOSTRA-DWD-2010R

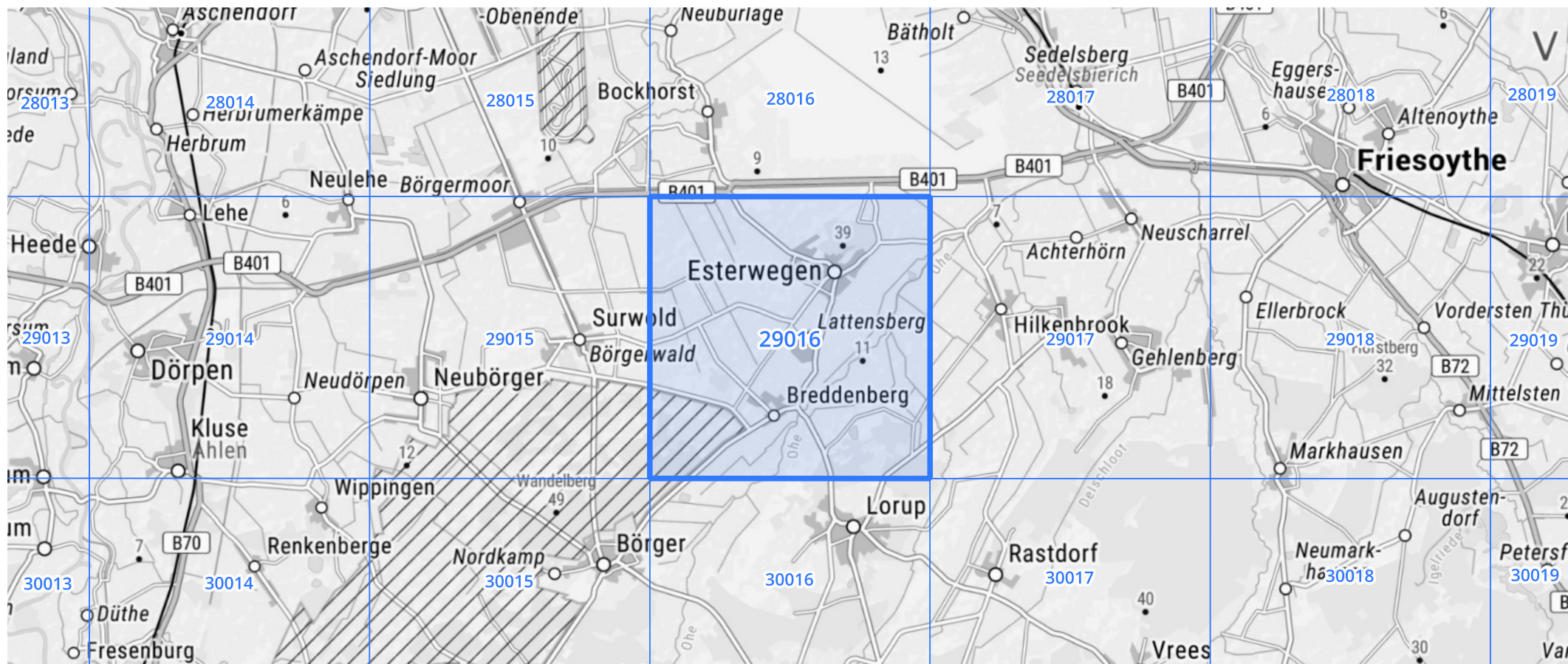
Auswertungszeitraum von 1951 - 2010, Januar - Dezember

Rasterfeld: 29016

Zeile: 29

Spalte: 16

Seite: 2/2



Quelle Rasterdaten: KOSTRA-DWD-2010R des Deutschen Wetterdienstes.

Kartendarstellung: © Bundesamt für Kartographie und Geodäsie (2022), Datenquellen: https://sgx.geodatenzentrum.de/web_public/gdz/datenquellen/Datenquellen_TopPlusOpen.html

Für die Richtigkeit und Aktualität der Angaben wird keine Gewähr übernommen. Erstellt 07/2022.